

تعیین هم‌زمان کنترل و وضعیت بهینه در سیستم متضمن غشا مرتعض مستدیر به روش گسسته‌سازی

علیرضا فخار زاده جهرمی^۱، پرویز الهی، ندیمه جعفرپور

گروه ریاضی دانشگاه صنعتی شیراز

تاریخ پذیرش: ۸۹/۷/۲۵

تاریخ دریافت: ۸۸/۵/۲۳

چکیده: ارائه روشی برای تعیین هم‌زمان توابع کنترل و مسیر در یک مسأله کنترل بهینه هدایت شده توسط یک سیستم غشا مرتعض مستدیر در دستگاه مختصات قطبی، هدف اصلی این مقاله است. ابتدا با تعیین نوع تابع مسیر و انجام گسسته‌سازی و سپس استفاده از خواص اندازه‌ها، مسأله خطی‌سازی می‌شود. آنگاه با انجام چند گام تقریب زوج توابع کنترل و مسیر تقریباً بهینه به همراه مقدار بهینه تابع هدف از طریق حل یک مسأله برنامه‌ریزی خطی متناهی بدست می‌آید. مثال عددی نیز ارائه گردیده است.

واژه‌های کلیدی: غشا مرتعض مستدیر، گسسته‌سازی، کنترل بهینه، برنامه‌ریزی خطی.

کد موضوع بندی ریاضی: ۷۶D۳۳ و ۴۹D۲۵.

^۱آدرس الکترونیکی نویسنده مسئول مقاله: a_fakharzadeh@sutech.ac.ir

۱- مقدمه

همواره در مسائل مقدار مرزی متضمن معادلات با مشتقات جزئی، استفاده از دستگاه‌های مختصاتی که نسبت به آنها دامنه مسأله مورد نظر دارای نمایش ساده‌ای باشد، اصلی کلی است. بر همین اساس است که استفاده از دستگاه مختصات قطبی برای مسائل مربوط به غشاهای مستدیر (پوسته‌های بدون ضخامت و دایره‌ای شکل) مناسب خواهد بود، زیرا می‌توان کرانه غشا را توسط معادله ساده (ثابت r) نمایش داد.

هدف ما در این مقاله حل آن دسته از مسائل کنترل بهینه است که با معادله موج دو بعدی در دستگاه مختصات قطبی و در دامنه‌ای دایره شکل هدایت می‌شوند. ایده ما برای حل این رده مسائل یک ایده ترکیبی بر مبنای گسسته‌سازی است. ابتدا سیستم معادله موج با شرایط خاص مطرح می‌گردد، سپس با یافتن جوابی کلاسیک و ارائه یک راه حل ترکیبی بر مبنای استفاده از فرم جواب کلاسیک و روش نشانیدن، سعی می‌شود مقدار تابع هدف و هم چنین توابع کنترل و مسیر به‌طور هم‌زمان به دست آورده شوند. در تمام این مراحل از قدرت گسسته‌سازی در جهت خطی‌سازی و ساده‌سازی مسأله استفاده خواهیم نمود.

تحقیقات در زمینه سیستم‌های کنترلی هدایت شده توسط معادلات موج همواره بنا بر نیاز توسط مهندسين و ریاضی‌دانان در طی چند سال اخیر در جریان بوده است. به عنوان نمونه مقاله‌ای به منظور تحقیق روی مدل تحلیلی برای ساختن معادله موج دو بعدی توسط وزیری و ریجو (۲۰۰۶) چاپ شد. مرتبه تقریب‌های عددی برای متغیرهای حالت و کنترل بهینه گردتس و همکاران (۲۰۰۶) مورد مطالعه قرار گرفته است که در آن روش عددی انتخاب شده برای مسأله مورد نظر بر مبنای تفاضلات متناهی است. همچنین به‌عنوان نمونه‌های دیگر می‌توان به کارلسن (۲۰۰۸) و نوآکفسکی (۲۰۰۸) اشاره کرد. ارائه روشی ترکیبی برای حل مسأله کنترل بهینه متضمن معادله موج ۲ بعدی دستگاه مختصات قطبی هدف این مقاله است. به‌منظور بیان مبانی مسأله، ابتدا در بخش بعد به معرفی سیستم موج در دامنه‌ای دایره‌ای شکل در دستگاه مختصات قطبی پرداخته می‌شود.

۲- نمایش مسأله در دستگاه مختصات قطبی

برای معرفی یک مسأله کنترل بهینه، ابتدا لازم است مفاهیم بنیادی مرتبط با آن بیان گردند؛ فرض کنید $v(t)$ تابعی کراندار و اندازه‌پذیر لبگ بر بازه $[0, T]$ باشد که تمامی مقادیر خود را در یک زیر مجموعه بسته و کراندار V از \mathbb{R} می‌گیرد. معادله موج دو بعدی (پوسته مرتعش) در دستگاه مختصات قطبی به‌صورت زیر می‌باشد:

$$u_{tt} = c^2(u_{rr} + \frac{1}{r}u_r + \frac{1}{r^2}u_{\theta\theta}), \quad (1)$$

که در شرایط اولیه زیر به صورت منحنی‌های کانتور، صدق می‌کند:

$$u(r, \theta, 0) = f(r), u_t(r, \theta, 0) = g(r); \quad (2)$$

در این جا $f(r)$ مبین مکان اولیه و $g(r)$ بیان گر سرعت اولیه غشا (در زمان $t = 0$) هستند؛ در اصل در لحظه $t = 0$ فرض شده است که موج دارای تقارن محوری است. همچنین به دلیل ثابت شدن لبه‌های پوسته، معادله (۱) روی مرز دایره‌ای شکل به شعاع R ، صفر است؛ یعنی

$$u(R, \theta, t) = 0 \quad (3)$$

چنین معادلاتی در مراجع زیادی نظیر ویل و برت (۱۹۸۳) معرفی گردیده‌اند. به علاوه فرض می‌شود کنترل در (r_0, θ_0) که نقطه‌ای درون منحنی $r = R$ می‌باشد، توسط تابع $v(t)$ اعمال می‌گردد. تابع کنترل $v(t)$ را می‌توان به عنوان اعمال نیرو در نقطه (r_0, θ_0) تعبیر نمود:

$$u_t(r_0, \theta_0, t) = v(t).$$

از این رو مسأله کنترل بهینه هدایت شده به وسیله معادلات یک غشا مرتعش به صورت زیر است:

$$\begin{aligned} \text{Min } I &= \int_D f_0(r, \theta, t, v) dA \\ \text{S to } : u_{tt} &= c^2(u_{rr} + \frac{1}{r}u_r + \frac{1}{r^2}u_{\theta\theta}); \\ u(R, \theta, t) &= 0; \\ u(r, \theta, 0) &= f(r); \\ u_t(r, \theta, 0) &= g(r); \\ u_t(r_0, \theta_0, t) &= v(t). \end{aligned} \quad (4)$$

که در آن f_0 یک تابع پیوسته بر مجموع $D \times V$ می‌باشد (جایی که $D = [0, R] \times [0, 2\pi] \times [0, T]$). منظور از حل مسأله (۴) یافتن زوج (u, v) به گونه‌ای است که ضمن برقراری شرایط مسأله، تابع هدف به بهترین صورت ممکن کمینه گردد (این هدف می‌تواند مبین انرژی یا خطایی مورد نظر از سیستم باشد که بایستی کمینه گردد).

تعریف ۱: زوج مسیر و کنترل $p = (u, v)$ را قابل قبول گویند هرگاه در شرایط مسأله (۴) صدق کرده و u جوابی کراندار باشد. مجموعه تمام زوج‌های قابل قبول را با F نمایش می‌-

دهیم. منظور از حل مساله (۴) تعیین زوج قابل قبول $(u, v) \in F$ (به صورت هم‌زمان) به شیوه‌ای ترکیبی است به طوری که تابعی $I(p)$ روی F کمینه گردد. منظور ما از راه حل ترکیبی این است که با در نظر گرفتن تابع مسیر به صورت جوابی کلاسیک از (۱) (مثلاً یک سری مثلثاتی با ضرایب مجهول)، از روش نشانیدن برای حل مسأله کنترل بهینه (۴)، استفاده نماییم.

۲-۱ وجود جواب کلاسیک

اثبات وجود جواب معادله موج در دستگاه مختصات قطبی و چگونگی آن را می‌توان در مراجعی نظیر ویل و برت (۱۹۸۳) و سایمون (۱۹۷۲)، ملاحظه کرد. می‌دانیم که سمت راست در شرایط اولیه (۲) توابعی از r هستند. اما سمت چپ آنها توابعی از θ, r می‌باشند؛ این واقعیت مبین آن است که جواب‌های غشا مستدیر نمی‌توانند به θ وابسته باشند. بنابراین معادله (۱) شکل ساده‌تر زیر را به خود می‌گیرد:

$$u_{rr} = C^2(u_{rr} + \frac{1}{r}u_r). \quad (5)$$

برای یافتن جواب (۵)، معمولاً از روش جداسازی متغیرها استفاده می‌شود بر این اساس و مطابق آنچه که در مراجع مختلف نظیر ویل و برت (۱۹۸۳) ارائه گردیده است، جواب (۵) چنین است:

$$u(r, t) = \sum_{n=1}^{\infty} W_n(r) G_n(t) = \sum_{n=1}^{\infty} [a_n \cos(c \frac{\alpha_n}{R} t) + b_n \sin(c \frac{\alpha_n}{R} t)] J_0(\frac{\alpha_n}{R} r). \quad (6)$$

تابع (۶) به صورت یک سری نامتناهی است که در آن ضرایب a_n و b_n مجهول هستند و J_0 تابع بسل نوع اول می‌باشد. می‌توان با قرار دادن $t = 0$ و اعمال قیود (۲) مطابق با آنچه که در سایمون (۱۹۷۲) و ویل و برت (۱۹۸۳)، آمده a_n و b_n را که ضرایب سری بسل - فوریه ای (۶) می‌باشند، به صورت زیر محاسبه نمود:

$$a_n = \frac{2}{R^2 J_1^2(\alpha_n)} \int_0^R r f(r) J_0(\frac{\alpha_n}{R} r) dr, \quad n = 1, 2, \dots$$

$$b_n = -2 \left[c \frac{\alpha_n}{R} R^2 J_1^2(\alpha_n) \int_0^R r g(r) J_0(\frac{\alpha_n}{R} r) dr \right]^{-1} \quad n = 1, 2, \dots$$

یادآور می‌شویم که گرچه تاکنون صرفاً جوابی کلاسیک برای معادله غشا مستدیر، به صورت یک سری مثلثاتی نامتناهی تعیین گردیده است، لیکن هنوز برقراری شرط آخر (۴) تضمین نشده است. در بخش بعد به این موضوع خواهیم پرداخت.

۳- گسسته‌سازی در حل ترکیبی

سعی ما بر ارائه یک شیوه حل ترکیبی برای مساله (۴) به منظور فائق آمدن به مشکلات و رسیدن به اهداف ذکر شده است. بدین منظور با استفاده از جواب ارائه شده در بخش قبل به صورت یک سری مثلثاتی متناهی و استفاده توأم از روش اندازه‌ها برای حل مسائل کنترل بهینه، به شیوه‌ای جدید، ایده اصلی ارائه راه حلی برای مساله (۴) خواهد بود.

ایده استفاده از اندازه‌ها برای حل مسایل کنترل بهینه، اولین بار توسط یانگ (۱۹۶۹) مطرح گردید. نمونه‌هایی از کاربرد این ایده به وسیله روزنبلوم (۱۹۵۲) ارائه گردیده است. سپس ربیو این ایده را به صورت یک نظریه در سال ۱۹۸۶ در کتابش منتشر کرد و بر مبنای آن استفاده‌های متعددی از این روش برای اهداف مختلف توسط فخارزاده جهرمی و همکاران (۱۳۸۳)، فخارزاده جهرمی، صاحبی (۱۳۸۴) فخارزاده (۲۰۰۳)، فراهی (۱۹۹۶)، فخارزاده و ربیو (۲۰۰۹) و ناظمی و همکاران (۲۰۰۸) انجام گرفت. این روش که نشان‌دهنده نامیده شده است، دارای مزایای اساسی در مقایسه با سایر روش‌ها می‌باشد. از جمله آن‌ها عبارتند از: اثبات وجود جواب به صورتی خودکار، خطی بودن مساله جدید علی‌رغم غیر خطی بودن مساله اولیه (بدین ترتیب قادر خواهیم بود از قدرت آنالیز خطی بهره مند شویم) و قابلیت دستیابی به جوابی کلی. فراهی (۱۹۹۶) برای اولین بار این روش را برای حل سیستم‌های کنترلی خطی و غیر خطی متضمن معادله موج بکار برد. سپس فخارزاده و همکاران (۱۳۸۳) در تعیین دامنه بهینه یک معادله موج از این روش استفاده کردند.

استفاده ترکیبی از روش نشان‌دهنده و ساختار جواب کلاسیک بصورت سری مثلثاتی در دستگاه دکارتی برای معادلات یک بعدی و دو بعدی موج در گزارش دو طرح تحقیقاتی فخارزاده جهرمی و همکاران (۱۳۸۳) و فخارزاده جهرمی و صاحبی (۱۳۸۴) مطرح شده است. روش ترکیبی عبارت است از به کار بردن روش نشان‌دهنده، ضمن این که تابع مسیر به صورت یک سری مثلثاتی با ضرایب مجهولی در نظر گرفته می‌شود. در مقاله حاضر، این روش در مختصات قطبی برای معادله موج با شرایط اولیه وابسته به متغیر r و مرز دایره‌ای به کار می‌رود.

مشاهده شد که جواب معادله موج با شرایط داده شده به صورت سری نامتناهی (۶) است؛ همگرایی چنین سری‌هایی در میخایلف (۱۹۷۸) اثبات گردیده است. بنابراین می‌توان تقریبی از

جواب معادله (۵) را صرفاً با ترکیب خطی تعدادی متنهای از جملات اول سری (۶) به صورت زیر ارائه داد:

$$u(r, t) = \sum_{n=1}^N [a_n \cos(c \frac{\alpha_n}{R} t) + b_n \sin(c \frac{\alpha_n}{R} t)] J_0(\frac{\alpha_n}{R} r). \quad (7)$$

که در آن a_n و b_n ها ضرایبی مجهول بوده و N عدد صحیح ثابتی فرض می‌شود؛ بدین ترتیب در عمل خطای حاصل از حذف دم سری (۶) در محاسبه مقادیر ضرایب مجهول لحاظ خواهد شد.

با در نظر گرفتن تابع مسیر به صورت (۷)، قیود اول و دوم (۴) به‌طور خودکار لحاظ خواهند شد. لذا قیود سوم و چهارم به صورت زیر قابل بیان هستند:

$$\sum_{n=1}^N a_n J_0(\frac{\alpha_n}{R} r) = f(r), \quad \sum_{n=1}^N b_n c \frac{\alpha_n}{R} J_0(\frac{\alpha_n}{R} r) = g(r).$$

به منظور به کارگیری روش نشانیدن، با انتگرال گیری از طریق قید آخر مسأله (۴) خواهیم داشت:

$$\int_0^T v(t) dt = \int_0^T u_t(r, \theta, t) dt = \sum_{n=1}^N [a_n (\cos(c \frac{\alpha_n}{R} T) - 1) + b_n \sin(c \frac{\alpha_n}{R} T)] J_0(\frac{\alpha_n}{R} r). \quad (8)$$

با توجه به مطالب ذکر شده داریم:

گزاره ۱: با در نظر گرفتن جواب معادله غشا مستدیر (۱) با شرط مرزی (۳)، به صورت یک سری تقریبی (۷)، جواب مسأله زیر با جواب مسأله (۴) یکی خواهند شد.

$$\begin{aligned} \text{Min} : I(p) &= \int_D f_0(r, \theta, v, t) dA \\ \text{S.to} : \sum_{n=1}^N a_n J_0(\frac{\alpha_n}{R} r) &= f(r); \\ \sum_{n=1}^N b_n c (\frac{\alpha_n}{R}) J_0(\frac{\alpha_n}{R} r) &= g(r); \\ \int_0^T v(t) dt &= \sum_{n=1}^N [a_n (\cos(c \frac{\alpha_n}{R} T) - 1) + b_n \sin(c \frac{\alpha_n}{R} T)] J_0(\frac{\alpha_n}{R} r). \end{aligned} \quad (9)$$

در مساله (۹) سمت راست قیود اول و دوم یعنی $f(r)$ و $g(r)$ مقادیر ثابتی نیستند و از عوامل غیر خطی (۹) به حساب می‌آیند. به منظور سوق مسأله به سوی یک مساله خطی و استفاده از مزایای آن، فرض می‌کنیم $0 = r_1 < r_2 < \dots < r_l = R$ عناصری از یک زیر دنباله چگال در $[0, R]$ باشند (مثلاً اعداد گویا). در این صورت جواب مساله (۹) را با جواب مساله زیر

می‌توان تقریب نمود. لازم به ذکر است که هر چقدر l بزرگتر باشد، این تقریب دقیق تر خواهد بود:

$$\begin{aligned} \text{Min} : I(p) &= \int_0^T [\sum_{i=1}^l \sum_{j=1}^l \int_{\theta_{j-1}}^{\theta_j} \int_{r_{i-1}}^{r_i} f_0(r, \theta, v, t) dr d\theta] dt \equiv \int_0^T F_0(v, t) dt \\ \text{S.to} : \sum_{n=1}^N a_n J_0\left(\frac{\alpha_n}{R} r_i\right) &= f(r_i), \quad i = 1, 2, \dots, l; \quad (10) \\ \sum_{n=1}^N b_n c \frac{\alpha_n}{R} J_0\left(\frac{\alpha_n}{R} r_i\right) &= g(r_i), \quad i = 1, 2, \dots, l; \\ \int_0^T v(t) dt &= \sum_{n=1}^N [a_n (\cos(c \frac{\alpha_n}{R} T) - 1) + b_n \sin(c \frac{\alpha_n}{R} T)] J_0\left(\frac{\alpha_n}{R} r\right). \end{aligned}$$

لازم به یادآوری است که دسته شروط اول و دوم در (۱۰) در اصل برای تعیین ضرایب a_n و b_n به طوری که شروط (۲) در نقاط معینی برقرار باشند، کافی هستند؛ زیرا با قبول یک خطای قابل قبول نظیر $\varepsilon = (\varepsilon_1, \varepsilon_2)$ می‌توان شروط زیر را به ترتیب جایگزین آنها نمود:

$$\begin{aligned} \sum_{n=1}^N a_n J_0\left(\frac{\alpha_n}{R} r_i\right) - f(r_i) &\leq \varepsilon_1 \quad \forall i = 1, 2, \dots, l \\ \sum_{n=1}^N b_n c \frac{\alpha_n}{R} J_0\left(\frac{\alpha_n}{R} r_i\right) - g(r_i) &\leq \varepsilon_2 \quad \forall i = 1, 2, \dots, l \end{aligned}$$

آنگاه خطای ε را به نوعی به تابع هدف اضافه نمود که در جریان عمل کمینه‌سازی، حداقل شدن این خطا نیز برآورد شود.

۴- خطی‌سازی در فضای اندازه‌ها

در این بخش از نظریه اندازه برای تقریب جواب (۱۰) توسط یک مسأله از نوع برنامه‌ریزی خطی، استفاده می‌شود. به عبارت دیگر می‌توان اذعان داشت که نوعی خطی‌سازی قوی انجام خواهد گرفت. با تعریف $\Omega = [0, T] \times V$ ، تابعی $\Lambda_v : C(\Omega) \rightarrow R$ با ضابطه $\Lambda_v(f) = \int_0^T f(t, v) dt$ مطابق با روبیو (۱۹۸۶)، یک تابعی خطی، مثبت و پیوسته است. از آنجا که نگاشت Λ_v بر حسب کنترل قابل قبول v تعریف شده است، پس مطابق روبیو (۱۹۸۶) انتقال $\Lambda_v \rightarrow v$ از زوج‌های قابل قبول در F به نگاشت‌های خطی، انتقالی یک به یک است. از این رو جواب مسأله (۱۰) می‌تواند با جواب مسأله زیر تقریب شود:

$$\text{Min} : \Lambda_v(F_0)$$

$$S.to : \sum_{n=1}^N a_n J_0\left(\frac{\alpha_n}{R} r_i\right) = f(r_i), \quad i = 1, 2, \dots, l; \quad (11)$$

$$\sum_{n=1}^N b_n c \frac{\alpha_n}{R} J_0\left(\frac{\alpha_n}{R} r_i\right) = g(r_i) \quad i = 1, 2, \dots, l;$$

$$\Lambda_v(v) = \sum_{n=1}^N [a_n (\cos(c \frac{\alpha_n}{R} T) - 1) + b_n \sin(c \frac{\alpha_n}{R} T)] J_0\left(\frac{\alpha_n}{R} r\right).$$

می‌توان نشان داد که با متر اقلیدسی، Ω یک فضای هاسدورف است. اکنون آماده‌ایم تا زوج-های قابل قبول را با اندازه‌های رادن مثبت معرفی نماییم؛ بنا به قضیه نمایش ریس در روبیو (۱۹۸۶)، اندازه رادن مثبت و یکتای μ_v روی فضای $M^+(\Omega)$ (مجموعه اندازه‌های رادن مثبت بر Ω) چنان موجود است که:

$$\Lambda_v(f) = \mu_v(f) = \int_{\Omega} f d\mu, \quad \forall f \in C(\Omega).$$

با توجه به تعریف تابعی Λ_v و اندازه μ_v ، مساله (۱۶) می‌تواند به صورت مسأله‌ای در نظریه اندازه‌ها بیان شود:

$$\text{Min} : \mu_v(F_0)$$

$$S.to : \sum_{n=1}^N a_n J_0\left(\frac{\alpha_n}{R} r_i\right) = f(r_i), \quad i = 1, 2, \dots, l;$$

$$\sum_{n=1}^N b_n c \frac{\alpha_n}{R} J_0\left(\frac{\alpha_n}{R} r_i\right) = g(r_i), \quad i = 1, 2, \dots, l; \quad (12)$$

$$\mu_v(v) = \sum_{n=1}^N [a_n (\cos(c \frac{\alpha_n}{R} T) - 1) + b_n \sin(c \frac{\alpha_n}{R} T)] J_0\left(\frac{\alpha_n}{R} r\right)$$

تصویر تمام زوج‌های قابل قبول در F تحت انتقال $\mu_v \rightarrow \nu$ شامل تمام اندازه‌های $\mu_v \in M^+(\Omega)$ می‌باشد که معادله‌های (۱۲) را برآورد می‌سازند. این تصویر را به تنهایی می‌توان مجدداً با F نمایش داد، زیرا همان‌گونه که ذکر گردید این انتقال یک به یک می‌باشد. اما به همین دلیل، تمام مشکلات قبلی موجودند، زیرا فضاها معادل هستند و لذا عملاً تغییری در ماهیت آن‌ها ایجاد نشده است. اکنون تصویر F را گسترش می‌دهیم و مساله غیر کلاسیک جدید را چنین تعریف می‌کنیم: از میان تمام اندازه‌های رادن مثبت موجود در $M^+(\Omega)$ (نه لزوماً اندازه‌های به فرم μ_v ناشی شده از قضیه نمایش ریس) اندازه μ^* را جستجو می‌نماییم، که روابط (۱۲) را برقرار نموده و کمینه‌ساز تابع $\mu \rightarrow \mu(F_0)$ باشد؛ فضای جواب جدید را Q می‌نامیم. این گسترش ما را به جوابی کلی‌تر می‌رساند؛ زیرا فضای جواب بزرگتر خواهد شد و

مقدار اینفیموم یک تابع بر یک مجموعه بزرگتر همواره از مقدار اینفیموم آن بر مجموعه‌ای کوچک‌تر، کمتر خواهد بود. بنابراین، در این راستا به دنبال تعیین آن اندازه $\mu^* \in M^+(\Omega)$ می‌باشیم که دیگر لزوماً از طریق قضیه نمایش ریس معرفی نشده باشد، بلکه صرفاً در شروط مساله (۱۲) همراه با یک مجموعه شروط جدید (برای مشخص کردن کنترل بهینه) صدق کرده و تابع هدف را کمینه سازد؛ این مجموعه شروط جدید تضمین می‌کنند که تصویر اندازه بهینه بر بازه $[0, T]$ ، اندازه‌ای لبگ باشد. لذا مساله جدید برای حل چنین است:

$$\text{Min} : \mu(F_0)$$

$$\text{S.t.} : \sum_{n=1}^N a_n J_0\left(\frac{\alpha_n}{R} r_i\right) = f(r_i), \quad i = 1, 2, \dots, l;$$

$$\sum_{n=1}^N b_n c \frac{\alpha_n}{R} J_0\left(\frac{\alpha_n}{R} r_i\right) = g(r_i), \quad i = 1, 2, \dots, l; \quad (13)$$

$$\mu(v) = \sum_{n=1}^N [a_n (\cos(c \frac{\alpha_n}{R} T) - 1) + b_n \sin(c \frac{\alpha_n}{R} T)] J_0\left(\frac{\alpha_n}{R} r\right);$$

$$\mu(\xi) = \alpha_\xi, \quad \forall \xi \in C^1(\Omega).$$

که در آن $a_\xi = \int_0^T \xi dt$ اندازه لبگ ξ بر Ω بوده و $C^1(\Omega)$ مجموعه توابع پیوسته روی Ω است که صرفاً به متغیر t وابسته‌اند. فرض می‌کنیم Q فضای شدنی مساله (۱۳)، ناتهی باشد (هر چند که ممکن است F تهی باشد و این یکی از مزایای روش نشانیدن است). با توجه به امکان تعیین ضرایب a_n و b_n توسط دو دسته اول از شروط (که در دو بخش پیشین توضیح داده شد)، مانند رویو (۱۹۸۶) می‌توان روی Q یک توپولوژی هاسدورف بنا نهاد که تحت آن فضای جواب فشرده بوده و همچنین تابع $\mu \rightarrow \mu(F_0)$ نیم پیوسته پایین باشد. از این رو قضیه مهم زیر بدست می‌آید که وجود جواب را اثبات می‌کند.

قضیه ۲. اندازه بهینه $\mu^* \in M^+(\Omega)$ موجود است به طوری که معادلات (۱۳) را برآورده می‌سازد و رابطه $\mu^*(F_0) \leq \mu(F_0)$ برای هر $\mu \in M^+(\Omega)$ نیز برقرار باشد.

گرچه تاکنون وجود جواب بهینه به اثبات رسیده است، لیکن تعیین آن حتی به صورت دقیق هنوز میسر نیست؛ زیرا فضای جواب مساله دارای بعد نامتناهی است. ارائه شیوه‌ای جهت تعیین چنین جوابی هدف ما در بخش بعدی است.

۵- راهکار تعیین جواب بهینه

گرچه فضای جواب (۱۳) دارای بعد نامتناهی است، لیکن مسأله دارای این خاصیت بزرگ است که نسبت به مجهولات (a_n, b_n) ها و اندازه μ خطی است و لذا تعیین جواب آن از طریق حل یک مسأله برنامه‌ریزی خطی نیم نامتناهی (گابرنای و لویز، ۱۹۹۸) و یا متناهی (نظیر بازاراو همکاران، ۱۹۹۰) بسیار مناسب خواهد بود؛ زیرا روش‌های کاملاً شناخته شده و کارایی برای حل این رده از مسائل خطی وجود دارند. در این بخش مایلیم که مسأله (۱۳) را با جواب مسأله‌ای از نوع برنامه‌ریزی خطی متناهی تقریب کنیم. در گام ابتدایی تعداد قیود و سپس در گام دوم، بعد مسأله را به نوعی متناهی می‌نماییم.

با برگزیدن زیر مجموعه‌ای چگال شما را از فضای $C^1(\Omega)$ و سپس انتخاب تعداد متناهی از عناصر آن، می‌توان تعداد متناهی از قیود دسته آخر مسأله (۱۳) را داشت. این مجموعه توابع برای تمام $k \in N$ می‌توانند به صورت توابع مشخصه

$$\zeta_k(t) = \begin{cases} 1, & t \in J_k \\ 0, & \text{در غیر این صورت} \end{cases}$$

که در آن $J_k = [(k-1)\frac{T}{K}, k\frac{T}{K}]$ برای $k \leq K$ و $J_K = [(K-1)\frac{T}{K}, T]$ تعداد تقسیمات بازه $[0, T]$ می‌باشد. توابع ζ_k ها گرچه پیوسته نیستند اما دارای دو خاصیت مهم می‌باشند؛ یکی این که ترکیبات خطی آن‌ها برای تمام K ها، می‌تواند هر عضو $C^1(\Omega)$ را به خوبی تقریب نماید (کانوی و همکاران، ۱۹۹۰) و دیگر اینکه مطابق روش ارائه شده در کنترل بهینه قابل شناسایی توسط آن‌ها به صورت یک تابع به‌طور قطعه‌ای ثابت است.

باتوجه به امکان تعیین ضرایب a_n و b_n از دو مجموعه قیود اول (۱۳)، از قضیه ۵. A از روبیو

(۱۹۸۶) نتیجه می‌شود که اندازه بهینه دارای فرم نمایشی $\mu^* = \sum_{r=1}^M \gamma_r \delta(z_r)$ است. اما

جایگذاری این فرم نمایشی به جای μ در (۳۱) آن را به مسأله‌ای غیرخطی برحسب ضرایب α_r, a_n و b_n و نقاط تکیه‌گاهی z_r می‌کند که به نظر می‌رسد مناسب اهداف ما نمی‌باشد. اما این جایگذاری گامی است در جهت تعیین جواب از طریق حل یک مسأله برنامه‌ریزی خطی متناهی که در آن $\gamma_r \in R^+$ ، نقاط z_r به زیر مجموعه‌ای چگال از فضای Ω متعلق بوده و $\delta(z_r)$ اندازه اتمی واحد با جرم متمرکز در $\{z_r\}$ می‌باشد. تعیین نقاط تکیه‌گاهی z_r باید به طریقی مناسب انجام شود. برای این منظور با انجام یک گسسته‌سازی روی فضای Ω ، از آن تعداد M گره را انتخاب می‌کنیم. برای این که (۱۳) ضرایب a_n و b_n ها را به صورت تفاضل-

دو متغیر مثبت به شکل $a_n = a_n^+ - a_n^-$ و $b_n = b_n^+ - b_n^-$ که در آن $\{a_n^+, \alpha_n^+, b_n^+, b_n^-, \in R^+ U \{0\}\}$ نمایش می‌دهیم. بنابراین جواب مسأله (۱۳) را می‌توان به وسیله جواب مسأله برنامه‌ریزی خطی زیر تقریب نمود:

$$\begin{aligned} \text{Min} : & \sum_{r=1}^M \gamma_r F_r(t_r, v_r) \\ \text{S.to} : & \sum_{n=1}^N (a_n^+ - a_n^-) J_r \left(\frac{\alpha_n}{R} r_i \right) = f(r_i), \quad i = 1, 2, \dots, l; \\ & \sum_{n=1}^N (b_n^+ - b_n^-) c \frac{\alpha_n}{R} J_r \left(\frac{\alpha_n}{R} r_i \right) = g(r_i), \quad i = 1, 2, \dots, l; \\ & \sum_{n=1}^N \gamma_r v_r = \sum_{n=1}^N [(a_n^+ - a_n^-) (\cos(c \frac{\alpha_n T}{R}) - 1) + (b_n^+ - b_n^-) \sin(c \frac{\alpha_n T}{R})] J_r \left(\frac{\alpha_n}{R} r \right); \\ & \sum_{r=1}^M \gamma_r \xi_k(t_r) = a_k, \quad k = 1, 2, \dots, K; \\ & \gamma_r \geq 0, \forall r = 1, 2, \dots, M, \quad a_n^+, a_n^-, b_n^+, b_n^- \geq 0, \forall n = 1, 2, \dots, N. \end{aligned} \quad (14)$$

مسأله فوق یک مسأله برنامه‌ریزی خطی با $1 + K + 2l$ قید و $M + 4N$ مجهول می‌باشد که به راحتی از روش سیمپلکس یا سیمپلکس اصلاح شده (بازار او همکاران، ۱۹۹۰) قابل حل است. با تعیین بهینه مجهولات a_n و b_n ، $n = 1, 2, \dots, N$ ، می‌توان تابع مسیر بهینه را از رابطه (۷) و با مشخص شدن ضرایب بهینه α_r و $r = 1, \dots, M$ قادر به تعیین تابع کنترل بهینه از روش ذکر شده توسط روبیو (۱۹۸۶) خواهیم بود. بدین ترتیب علاوه بر مقدار بهینه تابع هدف، توابع مسیر و کنترل بهینه به‌طور هم‌زمان به‌دست خواهند آمد. با توجه به خاصیت چگال بودن، هر چه مقادیر l, M, N و K افزایش یابند، جواب حاصل از (۱۴) بیشتر و بیشتر به جواب مسأله اصلی نزدیک خواهند بود.

۶- شبیه سازی عددی

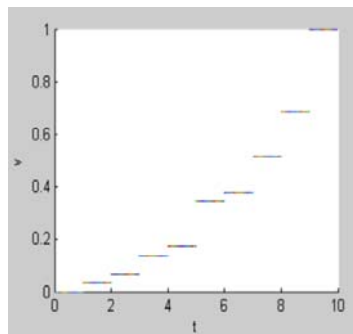
در این بخش با ارائه مثالی سعی می‌کنیم کارایی روش به‌کار برده شده را بهتر به نمایش بگذاریم. ابتدا با معرفی پارامترها و توابع لازم، مساله برنامه‌ریزی خطی متناظر با (۱۴) نوشته شده و آن‌گاه به کمک نرم افزار MATLAB7.4 مساله مذکور از روش سیمپلکس اصلاح شده حل گردیده است. به کمک جواب‌های بهینه حاصل برای ضرایب a_n و b_n ، تابع مسیر تقریباً بهینه از رابطه (۷) مشخص گردیده است. همچنین تابع کنترل بهینه به‌صورت تقریبی توسط یک تابع به‌طور قطعه‌ای ثابت به کمک ضرایب α_r رسم گردیده است. تابع مسیر u ، تابعی از سه متغیر t ، θ و γ است؛ لذا برای رسم ارتعاشات آن با در نظر گرفتن نقاط مشخصی از بازه زمان، $u(r, \theta, t)$ به‌صورت تابعی با دو متغیر (کانتورگونه) در دستگاه مختصات سه بعدی رسم

می‌گردد. بدین ترتیب با نمایش پیاپی شکل تابع موج برای زمان‌های مختلف، قادر به مشاهده موج بهینه خواهیم بود.

برای (۴)، پارامترهای $J_0(\alpha_r) = 0$ ، $f(r) = 0.1$ و $R = 1$ و $c = 1$ را در نظر گرفته و تابع را به‌عنوان انتگرالده تابع هدف برمی‌گزینیم. همچنین $(r_0, \theta_0) = (0.5, \frac{\pi}{3})$ نقطه‌ای درون دایره به شعاع ۱ برای اعمال کنترل اختیار کرده و $[0, T] = [0, 1]$ را بازه زمان و $V = [0, 1]$ را بازه کنترل برمی‌گزینیم و با انتخاب ۳۰ نقطه از هر کدام از آن‌ها، فضای $\Omega = [0, 1] \times [0, 1]$ با ۹۰۰ نقطه $z_j = (t_j, v_j)$ گسسته‌سازی می‌شود.

جدول ۱: مقادیر a_n و b_n بهینه حاصل از حل برنامه ریزی خطی

b_n	a_n	n	b_n	a_n	n
$-1/841 \times 10^3$	۱/۰۰۶۸	۶	$-5/608 \times 10^3$	۱۵۹/۱۵۴۱	۱
$-6/499 \times 10^3$	۱/۰۳۵۰	۷	$-1/385 \times 10^4$	۱/۰۳۶۰	۲
$-1/855 \times 10^3$	$-0/8499$	۸	$9/568 \times 10^3$	۰/۰۱۹۶	۳
۲۱۴/۱۵۶	$-0/۰۱۰۲$	۹	$1/694 \times 10^4$	$-0/6269$	۴
			$-4/910 \times 10^3$	۰/۰۱۰۲	۵



شکل ۱: نمودار تابع کنترل

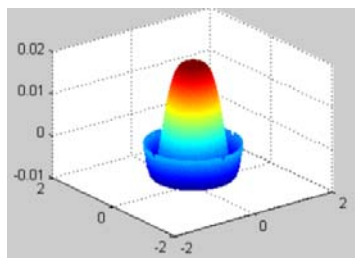
با در نظر گرفتن ۳ صفر مثبت تابع بسط، برای سری مبین تابع مسیر، سه جمله اول انتخاب می‌گردد ($N = 3$). بنابراین مساله ۹۲۰ متغیر خواهد داشت. ۴ نقطه (۱ و ۰/۵ و ۰/۲۵ و ۰) را از $[0, 1]$ برای مقادیر r جهت ایجاد هشت قید برای دسته قیود اول و دوم مساله (۱۴) برمی‌گزینیم، بازه زمانی را به ۱۰ زیر بازه به طول ۰/۱ تقسیم می‌نماییم و براساس آن تعداد ۱۰ تابع مشخصه k_k و ($k = 1, 2, \dots, 10$) را برای دسته قیود آخر از مساله برنامه‌ریزی خطی می‌سازیم. لذا برای این مثال مساله متناظر با (۱۴) دارای ۱۹ قید و ۹۲۰ خواهد بود. پس از حل، مقدار

تابع هدف برابر با $10^{-5} \times 2/20.56$ بدست آمد که بسیار به صفر نزدیک است (از آن جا که مساله کمینه سازی است و با توجه به مثبت بودن تابع هدف، این مقدار قابل انتظار بود). همچنین ضرایب بهینه a_n و b_n حاصل در جدول (۱) ارائه شده است. به علاوه مقادیر بهینه α_r و مقادیر کنترل بهینه وابسته به آن در جدول (۲) آورده شده اند.

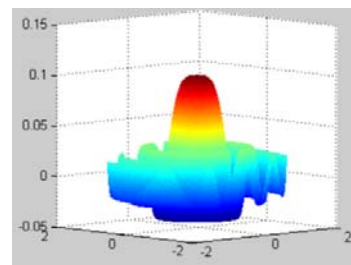
جدول ۲: مقادیر بهینه ضرایب α_r و کنترل متناظر

V^*	α_r	r	V^*	α_r	r
۰/۳۴۴۸	۱	۵۲۱	۰	۱	۱
۰/۳۷۹۳	۱	۵۵۲	۰/۰۳۴۵	۱	۱۵۲
۰/۵۱۷۲	۱	۶۴۶	۰/۰۹۶۰	۱	۲۴۳
۰/۶۸۹۷	۱	۷۴۱	۰/۱۳۷۹	۱	۳۳۵
۱	۱	۹۰۰	۰/۱۷۲۴	۱	۳۶۶

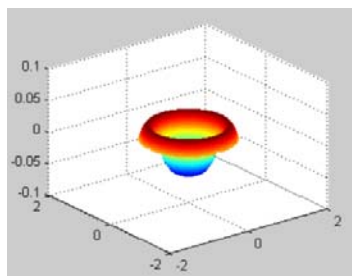
بر مبنای این نتایج، مطابق آنچه که شرح داده شد، تابع کنترل تقریباً بهینه و تابع وضعیت بهینه در زمان های ۱، ۰/۷، ۰/۵، ۰/۳، ۰/۱، $t = 0.1$ به ترتیب در شکل های ۲-۶ ترسیم شده اند.



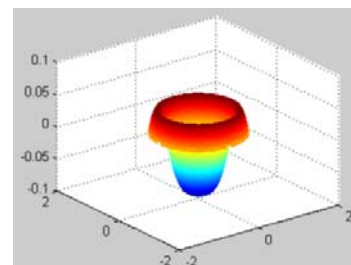
شکل ۳: نمودار تابع وضعیت و جهت در لحظه



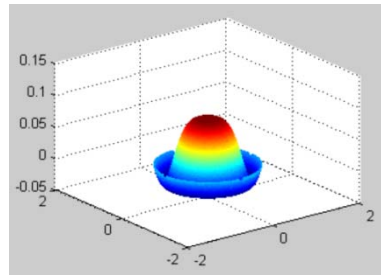
شکل ۲: نمودار تابع وضعیت و جهت در لحظه



شکل ۵: نمودار تابع وضعیت و جهت در لحظه



شکل ۴: نمودار تابع وضعیت و جهت در لحظه



شکل ۶: نمودار تابع وضعیت و جهت در لحظه

۷- نتیجه

با استفاده از ترکیب روش‌های نشان‌دهنده و گسسته‌سازی، در این مقاله شیوه‌ای برای حل مسئله کنترل بهینه متضمن غشا مستدیر مرتعش ارائه شد. این شیوه که مبتنی بر کاربرد شکل کلاسیک نوع جواب و استفاده از توانایی‌های اندازه‌ها بنا شده است، قادر است به صورت هم‌زمان وضعیت و کنترل بهینه را معرفی نماید. به علاوه توانایی‌های شکل کلاسیک جواب ما را قادر می‌سازد تا از توانایی‌ها و نتایج حاصل پیشین آن برای تحلیل و آنالیز سیستم استفاده کنیم. دست یافتنی بودن جواب و تعیین آن به صورت ساده، حل مسئله غیرخطی به شیوه‌ای خطی و اثبات وجود جواب و وضعیت بهینه از جمله مزایای متعدد این روش حل است.

مراجع

فخارزاده جهرمی، علیرضا؛ بصیرزاده، هادی؛ اعلام‌پور، علی (۱۳۸۳). حل ترکیبی یک سیستم کنترلی موج با استفاده از سری فوریه و روش نشان‌دهنده، طرح پژوهشی شماره ۴۸۷ دانشگاه شهید چمران اهواز.

فخارزاده جهرمی، علیرضا؛ صاحبی، حمیدرضا (۱۳۸۴). حل ترکیبی غشا مرتعش با استفاده از اندازه‌ها، طرح تحقیقاتی، دانشگاه آزاد اسلامی واحد آشتیان.

Bazaraa, M.S., Jarvis, J.J. and Sherali, H.D. (1990). *Linear programming and network flows*, John Wiley and Sons (2Ed).

Carlsson, J. (2008). Symplectic Reconstruction of data for heat and wave equations, Report arxiv: 0809.3621v1.

Conway, J. B. (1990). *A course in functional analysis*, University of Tennessee, Springer.

- Fakharzadeh, A. (2003). Finding the optimal domain of a nonlinear wave optimal control system by measure, *J. Appl. Math and Computing*, 13, 183-194.
- Fakharzadeh, A. and Rubio, J.E. (2009). Best domain for an elliptic problem in cartesian coordinate by means of shape-measure, *AJOP Asian J. of Control*, 11, 536-547.
- Farahi, M.H. (1996). The boundary control of the wave equation. PhD thesis, Dept. of Applied Mathematical Studies, Leeds University.
- Gerds, M., Greif, G. and Pesch, H.J. (2006). Numerical optimal control of the wave equation: optimal boundary control of a string to rest in finite time, Proceedings 5th Mathmod Vienna.
- Goberna, M.A. and Lopez, M.A. (1998). *Linear semi-infinite optimization*, John Wiley and Sons, Chichester.
- Mikhailov, V. P. (1978). *Partial Differential Equations*, Moscow, Mir Pub.
- Nazemi A.R., Farahi M.H. and Zamirian, M. (2008). Filtration problem in inhomogenous dam by using embedding method, *J. of Applied Mathematics and Computing*, 28, 313-332.
- Nowakowski, A. (2008). Sufficient optimality conditions for dirichlet boundary control of wave equation, Proceedings of the 47th IEEE Conference on Decision and Control Cancun, Mexico.
- Simmons, G.F. (1972). *Differential equations with applications and historical notes*, McGraw-Hill Inc.
- Rubio, J.E. (1986). *Control and optimization the linear treatment of nonlinear problems*, Manchester University Press, Manchester.
- Rosenbloom, P.C. (1952). Qudques classes de problems exteremaux, *Bulletin de Societe Mathematique de France*, 80, 183-216.
- Rudin, W. (1976). *Principles of mathematical analysis*, McGraw-Hill, New york.
- Waziri, V.O .and Reju, S.A. (2006). Control operator for the two-dimensional energized wave equation ,*Leonardo Journal of Sciences*, 9, 33-44.
- Wylie, C.R. and Barret, L.C. (1982). *Advanced engineering mathematics* (5th Ed), McGraw-Hill.
- Young, L.C. (1969). *Lectures on the calculus of variations and optimal control theory*, Philadelphian: W. B. Saunders Company.

Simultaneously determining the optimal control and state in an vibrating circular surface system by a discretization method

Alireza Fakharzadehjahromi, Parviz Elahi, Nadimeh Jafarpoor

Department of Mathematics, Shiraz University of Technology, Shiraz, Iran

Abstract

Presenting a new method for simultaneous determination of the control and trajectory functions in an optimal control problem governed by a vibrating circular surface system, is the main purpose of this paper. First, by identifying the form of the trajectory function, doing discretization and using the properties of measure, the problem is linearized. Then, by doing some approximation steps, the nearly optimal pair of trajectory and control with the optimal value of the objective function are obtained via solving a finite linear programming problem. A numerical example is also presented.

Keywords: Vibrating circular surface, Discretization, Optimal control, Measure, Linear programming.

Mathematics Subject Classification (2000): 49M25, 76D33